

ОБОСНОВАНИЕ ВОЗНИКНОВЕНИЯ 1/f-ШУМА В ЭЛЕКТРОННЫХ СХЕМАХ ПРИБОРОВ

В. Ю. Холкин

Северо-Западный государственный заочный технический университет, кафедра «Технологии и дизайна радиоэлектронной техники»
e-mail: vkholkin@mail.ru

Внутренние шумы высокочувствительной измерительной аппаратуры являются крайне не желательным явлением. Борьба с ними ведется на всех уровнях от проектирования до отработки технологии изготовления электронных схем. Большинство механизмов возникновения шумов известны и приемы подавления их уровня отработаны достаточно хорошо. Кроме одного загадочного шума, описываемого в литературе как 1/f-шум. Загадочность данного явления заключается в следующем: 1) это явление имеет крайне широкое распространение в природе от шумов в полупроводниковых приборах, до употребления таблеток; 2) в формуле $1/f^y$ степень y имеет пределы от 0,8 до 1,2, что само по себе необычно для описания физических явлений; 3) природа возникновения данного шума до сих пор достоверно не установлена.

Отсутствие достоверной модели возникновения данного шума не позволяет эффективно бороться с вышеупомянутым явлением.

Предлагаемая в статье [1] барьерная модель возникновения 1/f-шума хорошо согласуется с экспериментальными данными [2] и объясняет возникновение 1/f-участков наличием потенциальных барьеров. Но, это явно не единственная модель. Т.к. она объясняет только одно из проявлений 1/f-шума, а именно возникновение 1/f-участков и почему у ряда исследователей [3] предел степени y справа стремился к 1.

Должна существовать как минимум еще одна модель. Т.к. во-первых, в классическом 1/f-шуме пределы степени y от 0,8 до 1,2 [4,5], а во-вторых, в классическом 1/f-шуме, нет обособленных 1/f-участков и при $y=0,8$ и при $y=1,2$ кривая имеет классический $1/f^y$ вид.

Одним из возможных механизмов генерации 1/f-шума может быть пуассоновский процесс.

Рассмотрим пуассоновский процесс – частный случай счетного процесса, т.е. целочисленного процесса с единичными приращениями.

Процесс этого типа можно описать случайной последовательностью точек $\{t_k\}$ вдоль временной оси

$$N(t) = \sum w(t - t_k); \quad 0 \leq t_1 \leq t_2 \leq \mathbf{K}, \quad (1)$$

где $w(t)$ - единичная функция включения $w(t) = \frac{1}{2}(1 + \text{sign}t)$. Таким образом, случайное значение $N(t)$ эквивалентно числу точек включения между 0 и t . Процесс может быть охарактеризован вероятностью события $[N(t) = n]$ для каждого $t \geq 0$ и $n=0, 1, 2, \dots$

Формула спектральной плотности выше указанного процесса [6]

$$K_{xx}(f) = \frac{2IP(1-P)}{(2pf)^2 + I^2} + P^2 d(f), \quad (2)$$

где $P^2 d(f)$ постоянная составляющая при $f=0$;

P – вероятность появления события (включений или появления импульса) в единичный интервал времени;

$d(f)$ – дельта функция.

Величины, входящие в выражение (2) можно трактовать следующим образом. P – вероятность появления 1 соответствует коэффициенту заполнения процесса, то есть отношению средней длительности импульса к среднему периоду процесса. Величина λ характеризует среднюю частоту (интенсивность) процесса, а f – текущую частоту. Выражение (2) справедливо для относительного значения амплитуды импульсов, равного 1. Чтобы получить спектральную плотность средней мощности в обычной размерности $V^2/Гц$, нужно умножить выражение (2) на квадрат средней амплитуды импульсов \bar{U}^2 .

Выражение (2) является обобщением выражения c/f^y на весь диапазон частот. При достаточно большой частоте (интенсивности) процесса λ , изменение текущей частоты в области низких частот мало влияет на значение спектральной плотности и ход кривой совершенно отличается от выражения $1/f$. Остается только выяснить, каково это соответствие для сверхнизких частот, для которых используется выражение c/f^y . При малой частоте (интенсивности) процесса $\lambda \ll f$ для сверхнизких частот, спектральная плотность начинает вести себя как c/f^y . Так уже при $\lambda=0,03$ получается достаточно хорошее соответствие спектральной плотности и кривой c/f^y при показателе степени $y=0,8$ (рис. 2).

Для определения предела слева значения степени y в эмпирической формуле c/f^y , попробуем решить задачу подобную той, которую решают экспериментаторы, и подберем график c/f^y к полученным результатам. Только вместо полученных эмпирическим путем данных будем использовать данные, которые были рассчитаны по приведенной выше методике. Расчеты будем вести при $P=0.5$. При заданном значении частоты (интенсивности) процесса λ , найдем степень y соответствующую оптимальному совпадению графика c/f^y с графиком рассчитанным по формуле (2). В данном случае график рис.1 по формуле (2) определен значением $\lambda=0,03$, $y=0,8$ и $c=0,06$.

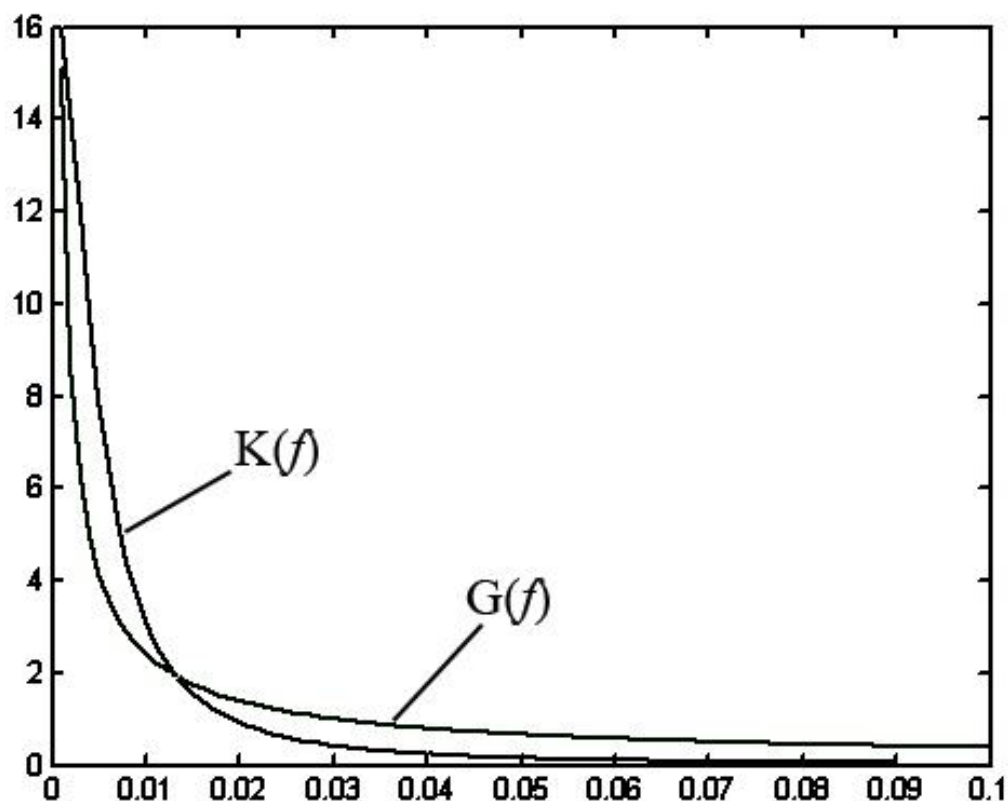


Рис.1 Совмещение графиков спектральной плотности по формуле (10) при $P=0,5$; $\lambda=0,03$ и c/f^y при $y=0,8$ и $c=0,06$ ($G = \frac{0,06}{f^{0,8}}$).

Как видно из рис.1 совмещение графиков достаточно хорошее, чтобы признать утверждение об идентичности графиков. Если же график c/f^y «оторвать» от осей и передвигать как кривую, а именно так чаще всего и делают исследователи, подбирая график $1/f$ к экспериментальным кривым, то совпадение графиков будет очень хорошим.

Как видно из рис.1, предел слева степени y в эмпирической формуле c/f^y равен 0,8. При частоте (интенсивности) процесса $\lambda > 0,03$, даже при показателе степени $y < 0,8$ уже не достичь достаточно хорошей аппроксимации.

Максимальное значение спектральной плотности $K_{xx}(f)$ при $f \rightarrow 0$ соответствует выражению $\bar{U}^2 \frac{2P(1-P)}{I}$. Так при $P=0,5$, $\lambda=0,03$ и $U=1V$ $K_{xx}(0) = \frac{0,5U^2}{I} = 16,7 V^2/Гц$. В отличие от этого, значение выражения c/f^y всегда стремится к ∞ при $f \rightarrow 0$. Стремление энергетического спектра к ∞ при $\lambda \rightarrow 0$ объясняется тем, что при очень малой частоте (интенсивности) процесса, период $T=2\pi/\lambda$, а соответственно и длительность импульса $\tau_{и}$, равная половине периода (при $P=0,5$), стремится к бесконечности. При этом энергия сигнала,

равная $U^2\tau_{и}$ также стремится к бесконечности. При малой частоте (интенсивности) процесса и $\tau_{и} \rightarrow 0$, $P \rightarrow 0$ и низкочастотная составляющая энергетического спектра становится малой величиной.

Вывод: 1) В случае аппроксимации 1/f-шума пуассоновским процессом предел слева в эмпирической формуле c/f^y действительно существует. 2) Согласно представленной модели предел степени y равен 0,8, что соответствует экспериментальным данным. 3) Данный предел равный 0,8 определен математикой процесса, формула (2).

При определении предела степени y справа, при $P=0,5$ и $\lambda=0,01$ и меньше вид (кривизна) графика не меняется, меняется только размерность графика при этом $y=1,2$.

При дальнейшем уменьшении частоты (интенсивности) процесса ($\lambda=0,005$ и меньше) показатель степени y увеличивается вплоть до величины $y=1,5$, и далее не меняется рис.2.

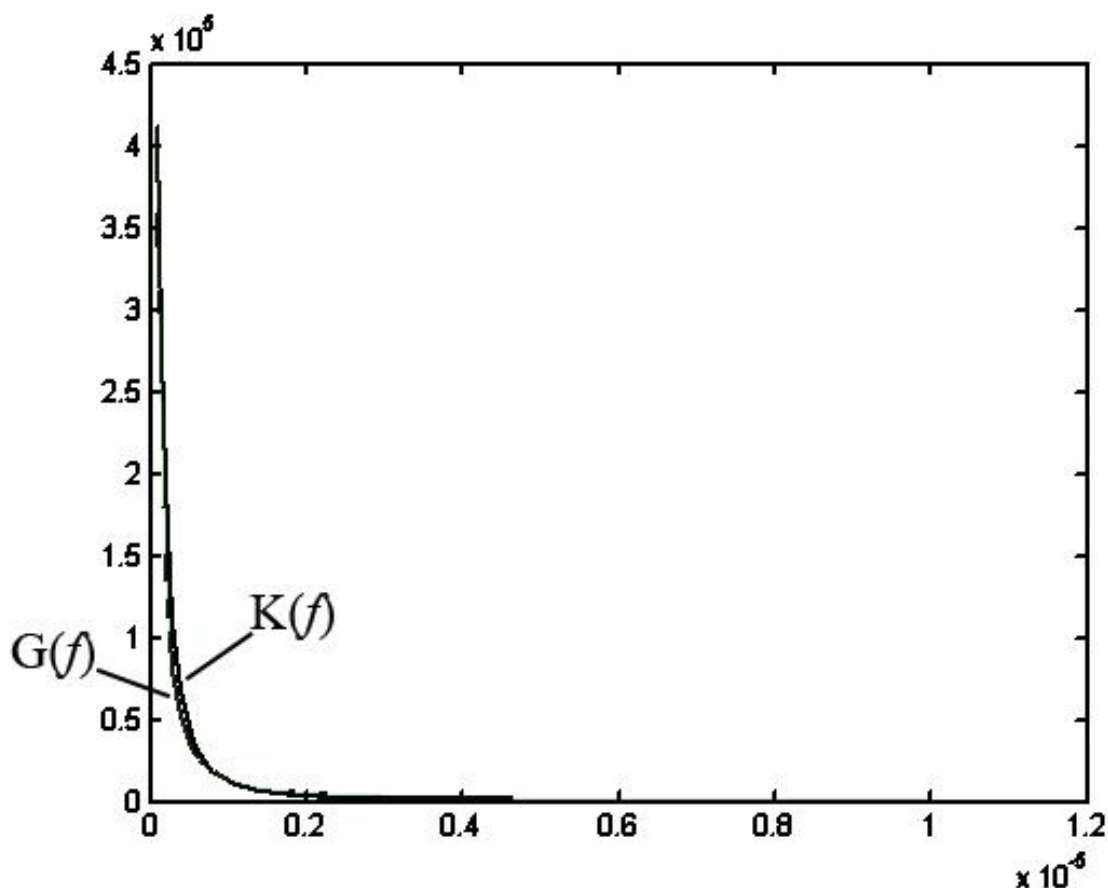


Рис.2 Совмещение графиков спектральной плотности по формуле (10) $P=0.5$; $\lambda=0.000001$; $c=0.000013$; $y=1.5$

Как видно из рис.2 совмещение достаточно хорошее, чтобы считать утверждение о совпадении графиков обоснованным.

Вывод: 1) В случае аппроксимации 1/f-шума пуассоновским процессом предел справа в эмпирической формуле c/f^y действительно существует, что соответствует экспериментальным данным. 2) Согласно представленной модели предел степени y равен 1,5, он несколько больше общепринятого предела 1,2, но в целом не противоречит экспериментальным данным. 3) Данный предел равный 1,5 определен математикой процесса, формула (2).

Выводы

Констатируя выше приведенные выкладки можно уверенно заявить, что явление, именуемое как 1/f-шум, по крайней мере, в ряде случаев, может быть результатом пуассоновского процесса. Подобранные экспериментаторами аппроксимирующая эмпирическая формула c/f^y искусственна. При сверхнизких частотах формула c/f^y может достаточно точно описывать эти процессы, но в связи с *искусственностью* эмпирической формулы c/f^y ее применение ограничено, откуда и появились пределы степени y .

Так как формула (2) не привязана к конкретной физической среде и конкретным физическим объектам, то соответственно шум, генерируемый по данной модели, будет проявляться в любых средах, с любыми объектами, где будут создаваться соответствующие условия. Этим и объясняется повсеместное проявление 1/f-шума.

СПИСОК ЛИТЕРАТУРЫ

1. Холкин В.Ю. Модель Барьерного механизма возникновения 1/f-шума в полупроводниковых устройствах.//Изв. вузов.Приборостроение.2008.Т.51, №1.
2. F. J. Beutler, O. A. Z. Leneman (1968) , The spectral analysis of impulse processes, Information and Control, 12, 236-258.
3. Кешнер М.С. Шум типа 1/f // «Академия Тринитаризма», М., Эл № 77-6567, публ.10993, 10.02.2004.
4. Bell D.A. – J. Phys. Ser. C, 1980, v. 13, p. 4425.
5. Hooge F. N. et al. Rept. Progr. Phys., 1981, v. 44, p. 479.
6. Л. Френкс Теория сигналов: Пер. с англ./Под ред. Д.Е. Вакман - М.: Советское радио, 1974.